

Slika 1. FTIC spektar nemodifikovanih nanotuba (1, —) i SWCNT ozračenih u vodenoj sredini dozama od 25 (2, ---), 50 (3, ....) i 100 kGy (4, ----).

Figure 1. FTIR spectra of pristine (1, —) and gamma irradiated SWCNTs in water at a dose of 25 (2, ---), 50 (3, ....) and 100 kGy (4, ----), respectively.

red traka na  $1630$  i  $1740\text{ cm}^{-1}$ , naznačene su i trake na  $1160\text{ cm}^{-1}$ , koja potiče od simetričnih, istežućih vibracija sekundarne hidroksilne grupe (O-H) i traka na  $1565\text{ cm}^{-1}$ , od karboksilnih funkcionalnih grupa. Na ovom spektru uočeno je i nekoliko slabih traka u oblasti od  $1030$  do  $1080\text{ cm}^{-1}$ , koje potiču od istežućih vibracija C-OH veza hidroksilne funkcionalne grupe. Na FTIC spektru uzorka  ${}^{100}\gamma$ SWCNT (spektar 4) uočene su trake na  $1152\text{ cm}^{-1}$ , poreklom od sekundarnih hidroksilnih grupa, na  $1550$  i  $1714\text{ cm}^{-1}$ , koje potiču od vibracija veza karboksilnih funkcionalnih grupa kovalentno vezanih za zid ugljeničnih nanotuba.

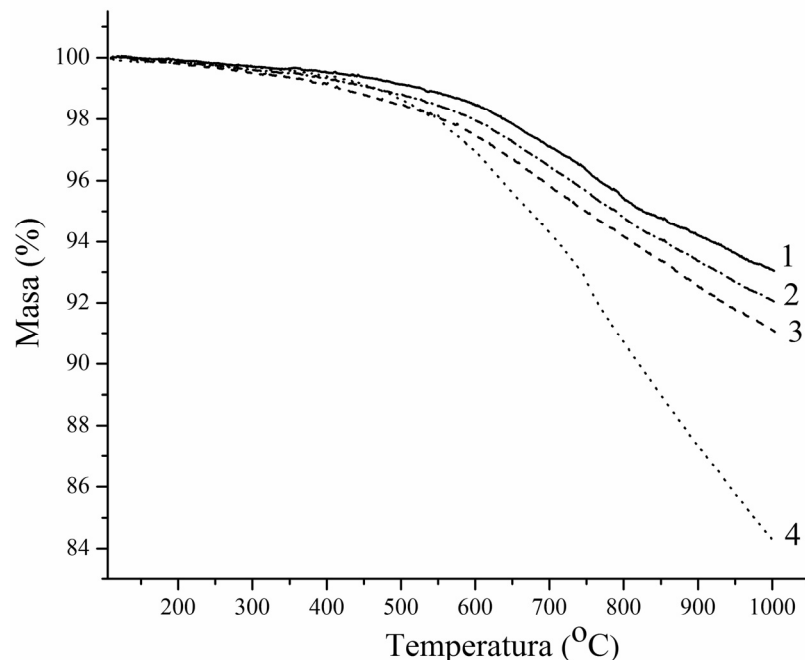
Gama ozračivanjem nanotuba u vodenoj sredini dolazi do stvaranja reaktivnih, slobodno-radikalinskih vrsta [27–29]. Delovanjem gama zračenja na vodu nastaju oksidacioni agensi, hidroksi-radikal ( $\cdot\text{OH}$ ) i vodonik-peroksid ( $\text{H}_2\text{O}_2$ ), čiji su radijaciono-hemijski prinosi ( $G$ ) oko  $2,4$  radikala/ $100\text{ eV}$  i  $5,6$  molekula/ $100\text{ eV}$ , redom [30]. Količine drugih oksidacionih agenasa, hidroperoksida ( $\text{HO}_2^{\bullet}$ ) i molekulskog kiseonika, su zanemarljive [30]. Nastali reaktivni radikalni, molekulski ili jonski proizvodi stupaju u reakciju sa ugljeničnim nanotubama. Hidroksi-radikal i vodonik-peroksid, verovatno, uzrokuju sličnu oksidaciju nanotuba kao i rastvor vodonik-peroksida [31]. Oksidansi ( $\cdot\text{OH}$  i  $\text{H}_2\text{O}_2$ ) reaguju sa C-atomima grafenske strukture nanotuba i stvaraju C-OH ili  $-\text{C=O}$  grupe [32]. Kao rezultat ovih reakcija, na bočnom zidu nanotuba nastaju kovalentno vezane hidroksilne i karboksilne funkcionalne grupe. Prisustvo ovih grupa na nanotubama je dokazano na svim dozama gama zračenja.

Termogravimetrijska analiza (TGA) daje niz korisnih informacija o kovalentno funkcionalizovanim ugljeničnim nanotubama. Kod kovalentno modifikovanih nanotuba, vezane funkcionalne grupe su najčešće termički manje stabilne, a posebno ako se merenja izvode u atmosferi inertnog gaza [33]. Većina ovih grupa će prilikom zagrevanja degradirati pre nego što započne razgradnja nanotuba.

Termogravimetrijskom analizom ispitivane su nanotube ozračene u vodenoj sredini primenom različitih doza gama zračenja. Ovim postupkom procenjena je ukupna količina kovalentno vezanih funkcionalnih grupa. Uzorci gama ozračenih nanotuba zagrevani su na temperaturi do  $1000\text{ }^{\circ}\text{C}$  u atmosferi argona, kako bi se obezbedila eliminacija funkcionalnih grupa, a da pri tome ne dođe do degradacije samih ugljeničnih nanotuba.

Dekarboksilacija i eliminacija hidroksilnih grupa sa zida nanotube dešava se na temperaturama ispod  $1000\text{ }^{\circ}\text{C}$  [33,34]. Nemodifikovane nanotube su uglavnom stabilne do ove temperature u atmosferi argona.

Rezultati termogravimetrijske analize nemodifikovanih i nanotuba ozračenih u vodi, dozama od  $25$ ,  $50$  i  $100\text{ kGy}$ , dati su na slici 2. Svi uzorci su temperirani na  $100\text{ }^{\circ}\text{C}$ , tako da se u ovoj fazi eliminiše fizički adsorbovana voda. Prve promene u masi javljaju se na oko  $250\text{ }^{\circ}\text{C}$ . Masa uzorka dalje nastavlja blago da opada, dok se brzina opadanja mase menja na oko  $550\text{ }^{\circ}\text{C}$  i postaje izraženija, i nastavlja se do  $1000\text{ }^{\circ}\text{C}$ . Najveće promene mase su za uzorak nanotuba ozračene dozom od  $100\text{ kGy}$  (slika 2, kriva 4).



Slika 2. TGA krive termičke razgradnje nemodifikovanih nanotuba (1, —),  $_{25}\gamma$ SWCNT (2, - - -),  $_{50}\gamma$ SWCNT (3, - -) i  $_{100}\gamma$ SWCNT (4, .....).

Figure 2. TGA curves of thermal degradation of pristine (1, —),  $_{25}\gamma$ SWCNT (2, - - -),  $_{50}\gamma$ SWCNT (3, - -) and  $_{100}\gamma$ SWCNT (4, .....).

Rezultati TGA analize nanotuba ozračenih u vodi dati su i u tabeli 1. Gubitak mase nemodifikovanih nanotuba od 6,92% može se pripisati eliminaciji amorfног ugljenika, prisutnog kao nečistoća u uzorcima nanotuba. Da bi se dobio procenat kovalentno vezanih funkcionalnih grupa, ovaj procenat je oduzet od ukupnog gubitka mase gama ozračenih nanotuba.

Kao što se vidi iz tabele 1, sa porastom doze gama zračenja raste i broj kovalentno vezanih funkcionalnih grupa. Nanotube ozračene dozom od 100 kGy imaju najviše kovalentno vezanih funkcionalnih grupa. Iako su rezultati FTIC spektroskopije gama ozračenih nanotuba pokazali prisustvo različih funkcionalnih grupa, TGA analizom nije bilo moguće utvrditi kolичine pojedinačnih grupa, već samo njihov ukupan sadržaj.

Ramanska spektroskopija je izuzetno korisna tehnika za ispitivanje vibracionih osobina SWCNT [4]. U ramanskom spektru SWCNT razlikuju se četiri trake: radialna dišuća traka (eng. *radial breathing mode* – RBM), D-traka (neuređenost, eng. *disorder* – D), G-traka (Grafitt – G) i G'-traka (drugi harmonik G-trake) [4]. RBM trake potiču od rasejanja laserskog zračenja sa nanotube koja se izotropno radikalno širi, što je jedinstvena

osobina ugljeničnih nanotuba, pa ova traka služi i za identifikaciju i razlikovanje nanotuba od grafita [35]. G traka potiče od tangencijalnih smicajućih vibracija ugljenikovih atoma nanotuba, dok D-traka potiče od neu-ređenosti u  $sp^2$  strukturi ugljeničnih nanotuba. Intenzitet D-trake zavisi od broja defekata ili drugih faktora koji dovode do narušavanja simetrije SWCNT [35].

Na slici 3 dati su ramanski spektri nemodifikovanih i nanotuba ozračenih dozom od 25, 50 i 100 kGy u de-jonizovanoj vodi. RBM trake (u oblasti od 100 do 300  $cm^{-1}$ ) vrlo su niskog intenziteta i ne mogu se jasno uočiti s obzirom na to da su dati spektri normalizovani i vertikalno pomereni, radi jasnoće. Nasuprot RBM traka, D, G i G' trake su visokog intenziteta i označene su na datim spektrima (slika 3).

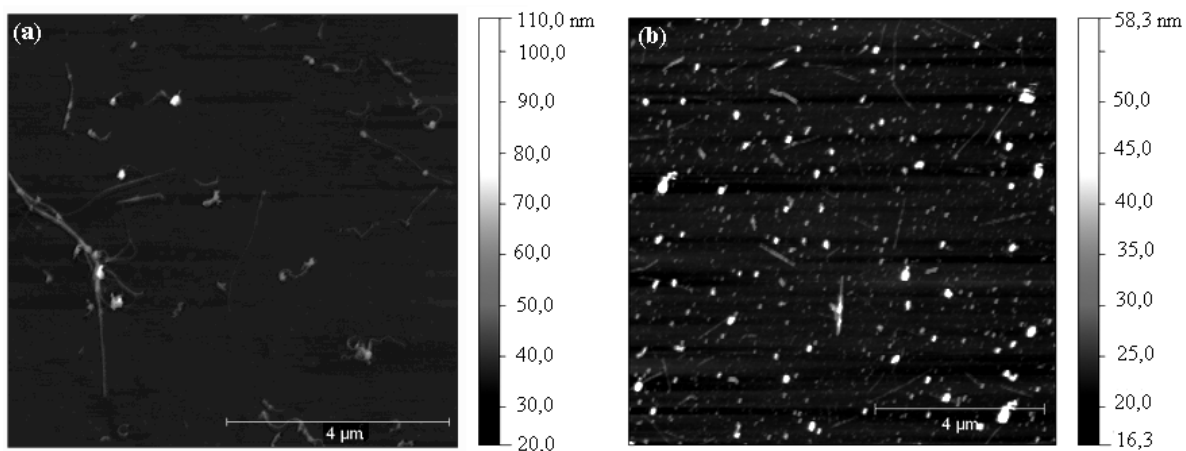
Položaj D i G traka kao, i odnosi  $I_D/I_G$ , za nemodifikovane i nanotube ozračene dozama od 25, 50 i 100 kGy dati su u tabeli 2. Odnosi  $I_D/I_G$  izračunati su na osnovu površina ispod traka, primenom softvera Origin 7. Rezultati prikazani u tabeli 2 pokazuju da sa promenom doze zračenja dolazi do upadljivih promena u vrednostima odnosa  $I_D/I_G$ . Pri dozi zračenja od 25 kGy, promena odnosa  $I_D/I_G$  je zanemarljiva. Međutim, kada se poveća

Tabela 1. Poređenje sadržaja funkcionalnih grupa u uzorcima nanotuba ozračenih u vodi pri različitim dozama gama zračenja  
Table 1. Comparison of functional group contents in samples of carbon nanotubes irradiated with different doses in aqueous media

Uzorak	Ukupan gubitak mase, %	Udeo funkcionalnih grupa, %
SWCNT	6,92	0
$_{25}\gamma$ SWCNT	7,95	1,03
$_{50}\gamma$ SWCNT	8,94	2,02
$_{100}\gamma$ SWCNT	14,16	7,24







Slika 5. AFM slike a) nemodifikovanih i b) nanotuba ozračenih u vodi, dozom od 50 kGy i dispergovanih u 1,2-dihlorbenzenu.  
Figure 5. AFM images of a) pristine and b) nanotubes irradiated in water at a dose of 50 kGy and then dispersed in 1,2-dichlorobenzene.

jeovom infracrvenom i ramanskom spektroskopijom, termogravimetrijskom analizom i mikroskopijom atomskih sila. Furijeova infracrvena spektroskopija pokazala je da gama zračenjem nanotuba u vodenoj sredini dovodi do kovalentne funkcionalizacije SWCNT. Delovanjem gama zračenja na vodu, dolazi do njene radiolize i formiranja niza slobodno-radikalnih vrsta. Ove vrste stupaju u reakciju sa bočnim zidovima nanotuba i dolazi do kovalentnog vezivanja karboksilnih i hidroksilnih funkcionalnih grupa za SWCNT. Ramanskom spektroskopijom dokazano je da sa porastom doze gama zračenja, raste i stepen strukturne neuređenosti SWCNT. Ispitivanjem odnosa  $I_D/I_G$  dokazano je da se strukturalna neuređenost povećava 3 puta kod nanotuba ozračenih dozom od 100 kGy. Analizom RBM traka ramanskih spektara ugljeničnih nanotuba, uočeno je da su i nakon zračenja u uzorcima nanotuba prisutne i poluprovodne i metalne nanotube. Ovim merenjima je dokazano da gama zračenje ispoljava neselektivno delovanje na nanotube različitih provodnih osobina. Termo-gravimetrijskom analizom procenjena je ukupna količina kovalentno vezanih funkcionalnih grupa. Najveći ideo kovalentno vezanih funkcionalnih grupa dokazan je kod SWCNT zračenih dozom od 100 kGy. Mikroskopijom atomskih sila utvrđeno je skraćenje SWCNT pod dejstvom gama zračenja.

### Zahvalnica

Ovo istraživanje podržalo je Ministarstvo prosvete i nauke Republike Srbije (projekta broj 172003).

### LITERATURA

- [1] S. Iijima, Helical microtubules of graphitic carbon, Nature **354** (1991) 56–58
- [2] W. Kratschmer, L.D. Lamb, K. Fostiropoulos, D.R. Huffman, Solid C<sub>60</sub>: a new form of carbon, Nature **347** (1990) 354–358
- [3] E. Thostenson, Z. Ren, T. Chou, Advances in the science and technology of carbon nanotubes and their composites: A review, Comp. Sci. Technol. **61** (2001) 1899–1912
- [4] R. Saito, G. Dresselhaus, M.S. Dresselhaus, Physical Properties of Nanotubes, Imperial College Press: London, 1998
- [5] S.J. Son, X. Bai, S.B. Lee, Inorganic hollow nanoparticles and nanotubes in nanomedicine. Part 2: Imaging, diagnostic, and therapeutic applications, Drug. Discov. Today **12** (2007) 657–663
- [6] H. Ago, K. Petritsch, M.S. Shaffer, A.H. Windle, R.H. Friend, Composites of carbon nanotubes and conjugated polymers for photovoltaic devices, Adv. Mater. **11** (1999) 1281–1285
- [7] Z. Markovic, Lj. Harhaji-Trajkovic, B. Todorovic-Markovic, D. Kepic, K. Arsikin, S. Jovanovic, A. Pantovic, M. Dramicanin, V. Trajkovic, In vitro comparison of the photothermal anticancer activity of graphene nanoparticles and carbon nanotubes, Biomaterials **32** (2011) 1121–1129
- [8] K.D. Ausman, R. Piner, O. Lourie, R.S. Ruoff, M. Korobov, Organic solvent dispersions of single-walled carbon nanotubes: Toward solutions of pristine nanotubes, J. Phys. Chem. B **104** (2000) 8911–8915
- [9] T. Kar, H.F. Bettinger, S. Scheiner, A.K. Roy, Noncovalent π–π stacking and CH–π interactions of aromatics on the surface of single-wall carbon nanotubes: An MP2 study, J. Phys. Chem. C **112** (2008) 20070–20075
- [10] A. Kis, G. Csanyi, J. Salvetat, T. Lee, E. Couteau, A. Kulik, W. Benoit, J. Brugger, L. Forro, Reinforcement of single-walled carbon nanotube bundles by intertube bridging, Nat. Mater. **3** (2004) 153–157
- [11] A. Hirsch, Functionalization of single-walled carbon nanotubes, Angew. Chem. **114** (2002) 1933–1939
- [12] J. Chen, M.A. Hamon, H. Hu, Y. Chen, A.M. Rao, P.C. Eklund, R.C. Haddon, Solution properties of single-walled carbon nanotubes, Science **282** (1998) 95–98
- [13] J. Zhang, H. Zou, Q. Qing, Y. Yang, Q. Li, Z. Liu, X. Guo, Z. Du, Effect of chemical oxidation on the structure of sing-

- le-walled carbon nanotubes, *J. Phys. Chem. B* **107** (2003) 3712–3718
- [14] A. Ishaq, L. Yan, J. Gong, D. Zhu, Graphite-to-amorphous structural transformation of multiwalled carbon nanotubes under proton beam irradiation, *Mat. Lett.* **69** (2009) 1505–1507
- [15] M. Terrones, F. Banhart, N. Grobert, J.C. Charlier, H. Terrones, P. M. Ajayan, Molecular junctions by joining single-walled carbon nanotubes, *Phys. Rev. Lett.* **89** (2002) 075505/1–075505/5
- [16] A.V. Krasheninnikov, K. Nordlund, J. Keinonen, F. Banhart, Ion-irradiation-induced welding of carbon nanotubes, *Phys. Rev. B* **66** (2002) 245–403
- [17] B.N. Khare, M. Meyyappan, J. Kralj, P. Wilhite, M. Sisay, H. Imanaka, J. Koehne, C.W. Jr. Baushchlicher, A glow-discharge approach for functionalization of carbon nanotubes, *Appl. Phys. Lett.* **81** (2002) 5237–5239
- [18] U. Rauwald, J. Shaver, D.A. Klosterman, Z. Chena, C. Silvera-Batista, H.K. Schmidt, R.H. Hauge, R.E. Smalley, K.J. Ziegler, Electron-induced cutting of single-walled carbon nanotubes, *Carbon* **47** (2009) 178–185
- [19] J. Guo, Y. Li, S. Wu, W. Li, The effects of  $\gamma$ -irradiation dose on chemical modification of multi-walled carbon nanotubes, *Nanotechnology* **16** (2005) 2385–2388
- [20] V. Skakalova, U. Dettlaff-Weglikowska, S. Roth, Gamma-irradiated and functionalized single wall nanotubes, *Diamond. Relat. Mater.* **13** (2004) 296–298
- [21] W.T. Wu, L. Shi, Y. Wang, W. Pang, Q. Zhu, One-step functionalization of multi-walled carbon nanotubes with Ag/polymer under  $\gamma$ -ray irradiation, *Nanotechnology* **19** (2008) 125607
- [22] A. Kukovecz, C. Kramberger, M. Holzinger, H. Kuzmany, J. Schalko, M. Mannsberger, A. Hirsch, On the stacking behavior of functionalized single-wall carbon nanotubes, *J. Phys. Chem. B* **106** (2002) 6374–6380
- [23] P.E. Pehrsson, W. Zhao, J. W. Baldwin, C.H. Song, J. Liu, S. Kooi, B. Zheng, Thermal fluorination and annealing of single-wall carbon nanotubes, *J. Phys. Chem. B* **107** (2003) 5690–5695
- [24] J.L. Stevens, A.Y. Huang, H.Q. Peng, L.W. Chiang, V.N. Khabashesku, J.L. Margrave, Sidewall amino-functionalization of single-walled carbon nanotubes through fluo-
- rination and subsequent reactions with terminal diamines, *Nano Lett.* **3** (2003) 331–336
- [25] B.N. Khare, M. Meyyappan, A.M. Cassell, C.V. Nguyen, Functionalization of Carbon Nanotubes Using Atomic Hydrogen from a Glow Discharge, *J. Nano Lett.* **2** (2002) 73–77
- [26] D.R. Lide, *CRC Handbook of Chemistry and Physics*, CRC Press, 2003–2004, pp. 9–86–9–90.
- [27] Y. Muroya, J. Meesungnoen, J.P. Jay-Gerin, A. Filali-Mouhim, T. Goulet, Y. Katsumura, S. Mankhetkorn, Radiolysis of liquid water: An attempt to reconcile Monte-Carlo calculations with new experimental hydrated electron yield data at early times, *Can. J. Chem.* **80** (2002) 1367–1374
- [28] C. Ferradini, J.P. Jay-Gerin, Radiolysis of water and aqueous solutions: Past and present, *Can. J. Chem.* **77** (1999) 1542–1575
- [29] I.G. Draganić, Radiolysis of water: A look at its origin and occurrence in the nature, *Radiat. Phys. Chem.* **72** (2005) 181–186
- [30] J.A. Laverne, OH radicals and oxidizing products in the gamma radiolysis of Water, *Radiat. Res.* **153** (2000) 196–200
- [31] J. Zhang, H. Zou, Q. Qing, Y. Yang, Q. Li, Z. Liu, X. Guo, Z. Du, Effect of Oxidation on carbon nanotube structure, *J. Phys. Chem. B* **107** (2003) 3713–3718
- [32] Y. Peng, H. Liu, Effects of oxidation by hydrogen peroxide on the structures of multiwalled carbon nanotubes, *Ind. Eng. Chem. Res.* **45** (2006) 6483–6488
- [33] M.H. Tang, H.J. Dou, K. Sun, One-step synthesis of dextran-based stable nanoparticles assisted by self-assembly, *Polymer* **47** (2006) 728–734
- [34] S. Grandi, A. Magistris, P. Mustarelli, E. Quartarone, C. Tomasi, L. Meda, Synthesis and characterization of SiO<sub>2</sub>-PEG hybrid materials, *J. Non-Cryst. Solids* **352** (2006) 273–280
- [35] C. Thomsen, S. Reich, Raman scattering in carbon nanotubes, *Top. Appl. Phys.* **108** (2006) 115–234
- [36] S. Jovanovic, Z. Marković, D. Kleut, N. Romčević, M. Marinović Cincović, M. Dramićanin, B. Todorović Marković, Functionalization of single wall carbon nanotubes by hydroxyethyl cellulose, *Acta Chim. Slov.* **56** (2009) 892–899.

**SUMMARY****COVALENT MODIFICATION OF SINGLE WALL CARBON NANOTUBES UPON GAMMA IRRADIATION IN AQUEOUS MEDIA**

Svetlana P. Jovanović<sup>1</sup>, Zoran M. Marković<sup>1</sup>, Duška N. Kleut<sup>1</sup>, Dragana D. Tošić<sup>1</sup>, Dejan P. Kepić<sup>1</sup>, Milena T. Marinović Cincović<sup>1</sup>, Ivanka D. Holclajtner Antunović<sup>2</sup>, Biljana M. Todorović Marković<sup>1</sup>

<sup>1</sup>"Vinča" Institute of Nuclear Sciences, University of Belgrade, Belgrade, Serbia

<sup>2</sup>Faculty of Physical Chemistry, University of Belgrade, Belgrade, Serbia

(Scientific paper)

Single wall carbon nanotubes (SWCNTs) were exposed to gamma radiation, absorbing the doses of 25, 50 and 100 kGy in aqueous environment. After the irradiation treatment, the changes in the structure were studied using Fourier transform Infrared and Raman spectroscopy, thermogravimetric analysis and atomic force microscopy. Fourier Transform Infrared Spectroscopy has shown that the irradiation of SWCNTs in aqueous environment leads to covalent functionalization of SWCNTs. The irradiation of water leads to its radiolysis and the formation of free radical species of different types. These species react with nanotube sidewalls and in such way carboxylic and hydroxylic groups are covalently bonded to the sidewalls of SWCNTs. Thermogravimetric analysis was used to estimate the total amount of covalently bonded groups. The highest ratio of covalently bonded groups appears in nanotubes irradiated with the 100 kGy dose. Raman spectroscopy proved that the increase in irradiation doses leads to an increase of structural disorder of SWCNTs, presumably in the form of defects in carbon nanotube walls. Examination of  $I_D$  to  $I_G$  ratio shows a three times larger degree of structural disorder after the irradiation treatment with 100 kGy. The analysis of carbon nanotube Raman spectra RBM bands determined the presence of both semiconducting and metallic carbon nanotubes after gamma irradiation treatment. These measurements prove that gamma irradiation treatments have a nonselective effect regarding different chirality and therefore conductance of nanotubes. Atomic force microscopy shows a significant carbon nanotube shortening as the effect of gamma radiation treatment. Nanotubes with length between 500 nm and 1  $\mu\text{m}$  are predominant.

**Keywords:** Carbon nanotubes • Covalent functionalization • Gamma irradiation • Raman spectroscopy